

Fundamentos de Comunicaciones Inalámbricas - TP N°1

Matías Roqueta

Introducción

Evaluamos un modelo de canal inalámbrico de dos caminos, definido como un sistema lineal variante en el tiempo caracterizado por su respuesta al impulso

$$h(\tau, t) = \sum_{i=1}^2 a_i(t) \delta(\tau - \tau_i(t)) \quad (1)$$

Su respuesta en frecuencia se consigue con la transformada de Fourier respecto a la variable τ

$$H(f, t) = \sum_{i=1}^2 a_i(t) e^{-2\pi f \tau_i(t)} \quad (2)$$

Estudiamos el caso particular de canal inalámbrico variante en el tiempo presentado en la Figura 1

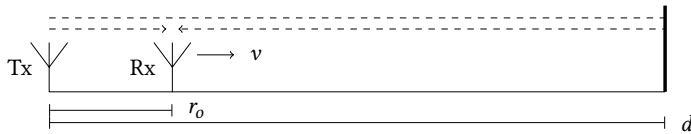


Figura 1: Canal inalámbrico de 2 caminos conformado por una antena emisora Tx estática, antena receptora Rx móvil, y un reflector.

Este canal es desarrollado en Tse [1] y resulta en

$$a_1(t) = \frac{|\alpha|}{x_1(t)} \quad a_2(t) = -\frac{|\alpha|}{x_2(t)} \quad (3)$$

$$\tau_1(t) = \frac{x_1(t)}{c} \quad \tau_2(t) = \frac{x_2(t)}{c} \quad (4)$$

En donde $x_1(t)$ y $x_2(t)$ son la distancia de cada camino, y el signo de a_2 contempla el salto de fase por reflexión

$$x_1(t) = r_0 + vt \quad x_2(t) = 2d - r_0 - vt \quad (5)$$

Para estudiar la interferencia resulta necesario expresar la diferencia de fase entre los dos caminos

$$\Delta\theta = 2\pi f \tau_2(t) + \pi - 2\pi f \tau_1(t) \quad (6)$$

Desarrollando la expresión se llega al resultado

$$\Delta\theta = \frac{4\pi}{c} f(d - r) + \pi \quad (7)$$

La expresión resulta en interferencia constructiva cuando $\Delta\theta$ es un múltiplo par de π , y en interferencia destructiva cuando este es un múltiplo impar de π

Viendo la Ecuación 7 como función de r a un f fijo, Se define la *longitud de coherencia* como la distancia entre un máximo y un mínimo de interferencia

$$X_c = \frac{c}{4f} \quad (8)$$

Asimismo, vista como función de f a un r fijo, se define el *ancho de banda de coherencia* de la misma forma

$$W_c = \frac{c}{4(d - r)} \quad (9)$$

Implementación

Implementamos la función genérica para un canal de dos caminos en el dominio del tiempo, Ecuación 1

$$h(t', t) = a_i[1](t) \cdot \delta(t' - \tau_i[1](t)) + a_i[2](t) \cdot \delta(t' - \tau_i[2](t))$$

Así como en el dominio de la frecuencia, Ecuación 2

$$H(f, t) = a_i[1](t) \cdot \exp(-im*2\pi*f*\tau_i[1](t)) + a_i[2](t) \cdot \exp(-im*2\pi*f*\tau_i[2](t))$$

Para simular el caso particular descrito en la Figura 1, especificamos las expresiones de a_i y τ_i de Ecuación 3 y Ecuación 4 como vectores de funciones

```
ai = [t -> 1/xi[1](t), t -> -1/xi[2](t)]
ti = [t -> xi[1](t)/c, t -> xi[2](t)/c]
```

Igualmente definimos los x_i descritos en la Ecuación 5

```
r(t) = r0+v*t
xi = [t -> r(t), t -> 2*d-r(t)]
```

Implementamos también el cálculo de la diferencia de fase, Ecuación 6, tal que retorne valores $\Delta\theta \in [-\pi, \pi]$

```
function dif_fase(f, t)
    dif = 2*pi*f*(ti[2](t)-ti[1](t))
    return mod(dif, 2*pi)-pi
end
```

Simulación

Vamos a simular la respuesta del canal en un ancho de banda de 10 MHz respecto a una frecuencia central f_0 de 1 GHz, discretizado en 2048 puntos.

```
f0 = 1e9; BW = 10e6; N = 2048
f = f0.+range(-BW/2, BW/2, N)
dt = 1/(f[2]-f[1])
t' = fftfreq(N, dt) |> fftshift
```

Se fija una distancia de la emisora al reflector de 1 km, y una posición inicial de la receptora de 200 m. Se estudian posiciones de la antena receptora desde $r = r_0$ hasta $r = d - r_0$, tal como indica la Figura 2.

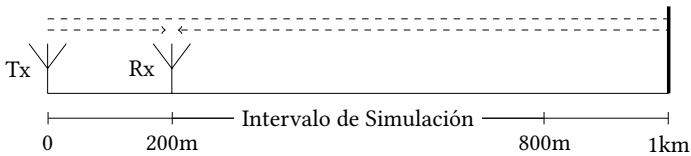


Figura 2: Intervalo de simulación del canal, se evalúan posiciones de la receptora $r(t) \in [r_0, d - r_0]$.

Se considera una velocidad de la receptora de 60 km/h y se eligen tiempos t tal que las posiciones de la receptora estén en el intervalo de evaluación.

```
d = 1000; r0 = 200; v = 60*1000/3600
t = range(0, d-2*r0, N)./v
```

Se puede estudiar la transferencia del canal a distintos valores de r , en el dominio de la frecuencia y en el dominio del tiempo. Tales resultados se presentan en la Figura 3

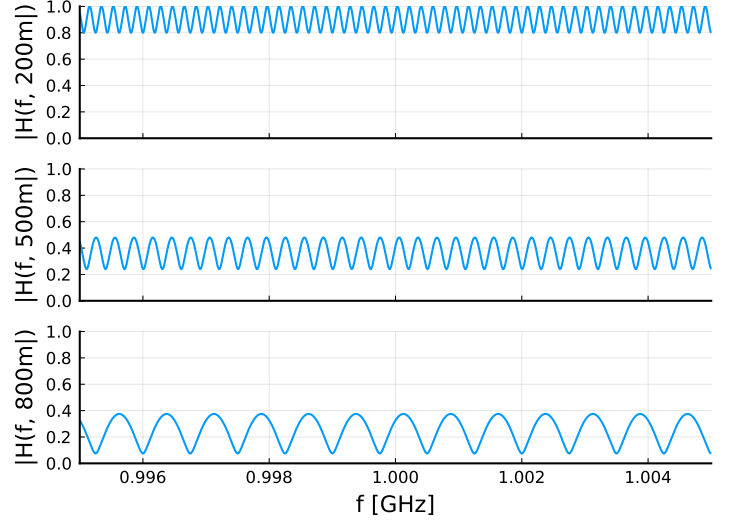


Figura 3: Fila 1: $r = 200\text{m}$. Fila 2: $r = 500\text{m}$. Fila 3: $r = 800\text{m}$. Respuesta del canal en el dominio de la frecuencia a diferentes posiciones de receptor.

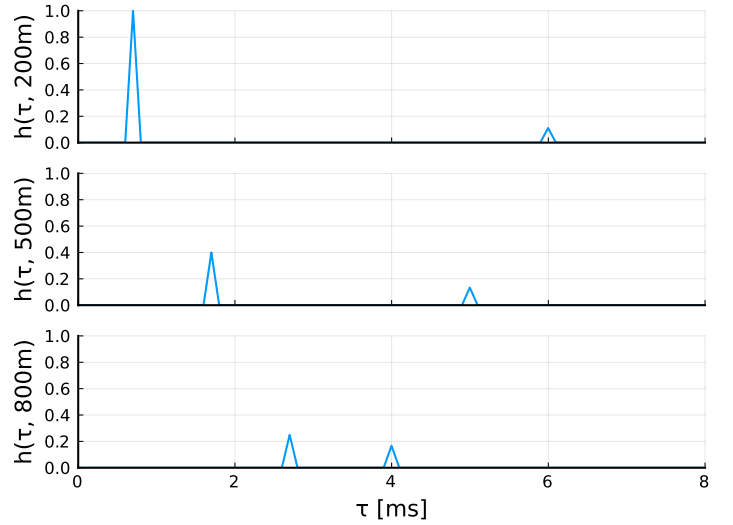


Figura 4: Fila 1: $r = 200\text{m}$. Fila 2: $r = 500\text{m}$. Fila 3: $r = 800\text{m}$. Respuesta del canal en el dominio del tiempo a diferentes posiciones de receptor.

Si se estudia la respuesta en frecuencia para un determinado valor de r , se puede comparar con la diferencia de fase para observar el ancho de banda de coherencia correspondiente a esa posición.

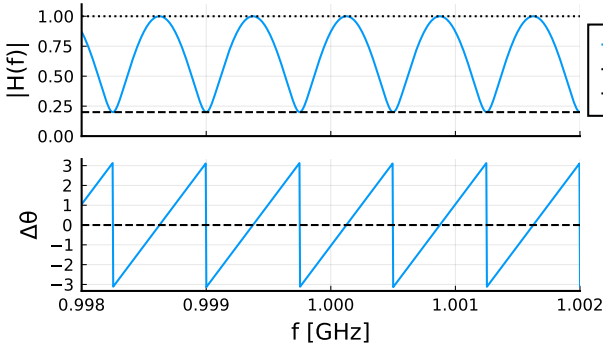


Figura 5: Máximo = $a_1(r) + a_2(r)$, interferencia constructiva.
Mínimo = $a_1(r) - a_2(r)$, interferencia destructiva.

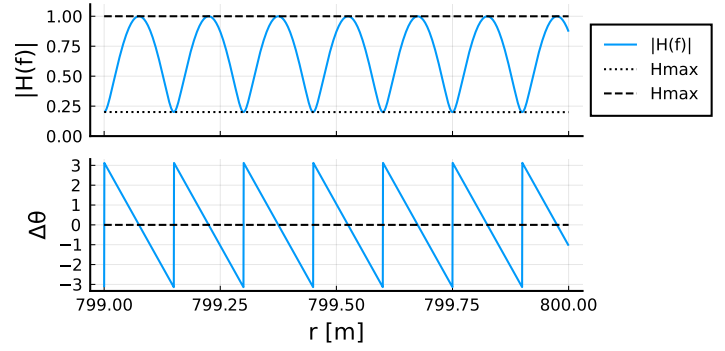


Figura 7: Máximo = $a_1(f_0) + a_2(f_0)$, interferencia constructiva.
Mínimo = $a_1(f_0) - a_2(f_0)$, interferencia destructiva.

Alternativamente, se puede fijar una determinada frecuencia de portadora y estudiar la evolución de la respuesta en frecuencia conforme varía la posición del receptor en su recorrido. Tales resultados se presentan en la Figura 6

```
t2 = range(d-2.01r0, d-2r0, N)./v
```

35.879999999999995:5.862237420615534e-5:36.0

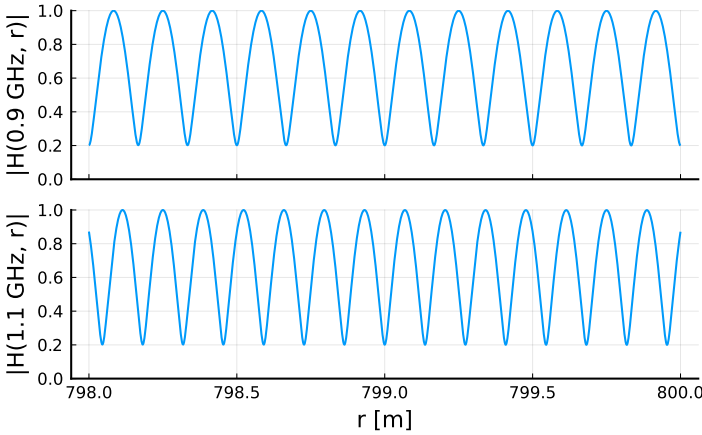


Figura 6: Evolución de la respuesta del canal a determinadas frecuencias según la posición de Rx.

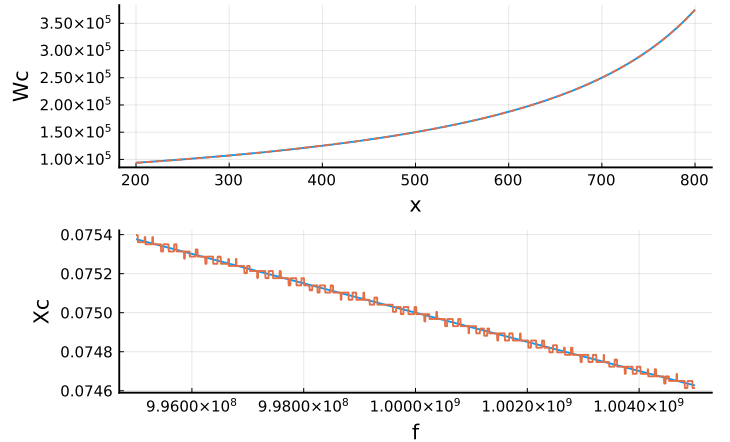
```
Wc(x) = c/(4*(d-x))
Xc(f) = c/(4*f)

H_abs(f,t) = H(f,t) .|> abs

T_emp(t, x) = t[argmaxima(x)] |> diff |> mean

Wc_emp = [T_emp(f, H_abs.(f, ti))/2 for ti in t]
Tc_emp = [T_emp(t2, H_abs.(fi, t2))/2 for fi in f]
```

```
p1 = plot(r.(t), Wc, xlabel="x", ylabel="Wc", legend=
plot!(p1, r.(t), Wc_emp, linestyle=:dash, legend=fals
p2 = plot(f, Xc, xlabel="f", ylabel="Xc", legend=fals
plot!(p2, f, Tc_emp.*v, legend=false)
plot(p1, p2, layout=(2,1))
```



Referencias

- [1] D. Tse, "Fundamentals of Wireless Communication," en Cambridge University Press, 2004, cap. 2.2: Input/Output Model of the Wireless Channel.